



# شانزدهمین سمینار ملی مهندسی سطح

بهمن ماه ۱۳۹۴

انجمن علم و تکنولوژی سطح ایران

## اثر درصد چرخه کار بر خواص مکانیکی پوشش نانوساختار TiAlN ایجاد شده به روش PACVD در سامانه جریان مستقیم پالسی

حسن حلم‌خواه<sup>۱</sup>، امیر عبداللهزاده<sup>۲</sup>، فرزاد محبوی<sup>۳</sup>، علیرضا صبور روح‌اقدم<sup>۴</sup>

۱ گروه مواد، دانشکده مهندسی دانشگاه بروعلی سینا همدان (استادیار)

۲ گروه شناسایی، بخش مهندسی مواد دانشکده فنی و مهندسی دانشگاه تربیت مدرس (استاد)

۳ دانشکده معدن و متالورژی دانشگاه صنعتی امیرکبیر (دانشیار)

۴ گروه خوردگی، بخش مهندسی مواد دانشکده فنی و مهندسی دانشگاه تربیت مدرس (دانشیار)

### چکیده

هدف از این مقاله، بررسی اثر درصد چرخه کار به عنوان یکی از متغیرهای پلاسمای پوشش نانوساختار نیترید تیتانیوم-آلومینیوم (TiAlN) است. برای این منظور از روش رسوب گذاری شیمیایی از فاز بخار به کمک پلاسما<sup>۱</sup> (PACVD) در سامانه جریان مستقیم پالسی استفاده شد. برای بررسی متغیر درصد چرخه کار، پوشش‌ها در درصدهای ۳۰، ۴۰ و ۵۰ درصد و در دمای لایه‌نشانی ۴۷۰ درجه سانتی‌گراد، فرکانس ۱۰ کیلوهرتز، فشار ۳ میلی‌بار به مدت ۲۱۰ دقیقه اعمال شدند. نتایج بدست آمده از آزمون XRD، FE-SEM و دستگاه اندازه‌گیری تنش پسماند دلالت دارد که با کاهش درصد چرخه کار از ۵۰ تا ۳۰ درصد، شاخص تغییر شکل پلاستیکی ( $H^3/E^2$ ) از مقدار  $1/4$  به  $1/6$  افزایش می‌یابد. بهبود خواص مکانیکی با کاهش درصد چرخه کار احتمالاً به دلیل افزایش تنش پسماند، کاهش اندازه دانه و کاهش ضربه بافت بلوری در جهت (111) است که ارتباط هریک از آنها بر خواص مکانیکی پوشش در مقاله بحث شده است.

واژه‌های گل Cedri: پوشش نانوساختار TiAlN، درصد چرخه کار، خواص مکانیکی، سامانه پالسی جریان مستقیم، PACVD

1- h.Elmkhah@basu.ac.ir

2- Plasma-assisted Chemical Vapor Deposition (PACVD).

## مقدمه

پوشش نانوساختار نیترید تیناتیوم آلومینیوم (TiAlN)، محلول جامد جانشینی Al در ساختار بلوری TiN است. از این رو پوشش TiAlN در مقایسه با پوشش TiN خواص مطلوبی خواهد داشت. لذا در صنایع امروزی پوشش TiAlN به عنوان یک جایگزین مناسب برای پوشش TiN معرفی شده [۱] و این پوشش به عنوان یکی از پوشش‌های سخت، کاربردهای گسترده‌ای در صنعت یافته است. سختی بالا [۲]، مقاومت در برابر سایش [۳]، خواص مکانیکی مطلوب [۴] و مقاومت در برابر اکسیداسیون [۵] از جمله مزایایی است که باعث گسترش روزافزون آن در صنایع مختلف شده است.

برای اعمال پوشش نانوساختار TiAlN روش‌های مشوع رسوب گذاری فیزیکی از فاز بخار (PVD) [۶ و ۴] و روش‌های رسوب گذاری شیمیایی از فاز بخار به کمک پلاسمای [۵] استفاده شده است. در این میان به علت امکان لایه‌نشانی قطعات با شکل هندسی پیچیده، پوشش دهنی تنها با استفاده از روش PACVD امکان‌پذیر می‌باشد [۷]. برای بهره‌گیری از روش PACVD، منع تعذیه‌های متفاوتی از جمله RF DC و پالسی جریان مستقیم وجود دارد که در آن متغیرهای پلاسمایی متفاوت خواهد بود. به عنوان مثال در سامانه‌های با منبع تعذیه جریان مستقیم پالسی، متغیر درصد چرخه کار<sup>۱</sup> بسیار اثر گذار می‌باشد.

درصد چرخه کار یکی از مهمترین متغیرها در میان پارامترهای سامانه‌های پالسی-DC است. درصد چرخه کار به نسبت زمان روشنایی به کل زمان روشنایی و خاموشی اطلاق می‌شود (شکل ۱ و رابطه ۱). لذا از یک طرف درصدهای بالای چرخه کار بیان گر بالا بودن میزان روشن بودن فرایند است و از طرف دیگر پلاسمای تخلیه تابان در زمان روشنایی ایجاد می‌شود [۸].

$$\text{Duty Cycle} = \frac{\tau_{on}}{\tau_{on} + \tau_{off}} \quad (1)$$

بنابراین در فرایندهای لایه‌نشانی، یونیزاسیون اتم‌ها و مولکول‌ها در زمان‌های روشنایی اتفاق می‌افتد و فرایند لایه‌نشانی در زمان‌های خاموشی، انجام خواهد شد. لذا میزان زمان روشنایی می‌تواند بر خواص و کیفیت نهایی پوشش‌ها اثر گذار باشد.

تاکنون محققان زیادی در زمینه متغیرهای پوشش دهنی TiAlN با استفاده از روش PACVD مطالعه تموده‌اند، از جمله اثر میزان آلومینیوم [۵]، خواص مکانیکی پوشش‌های چندلایه‌ای [۳] و لی تاکنون تحقیقاتی در زمینه متغیر چرخه کار بر خواص مکانیکی پوشش نانوساختار TiAlN مشاهده نشد. به دلیل اهمیت پلاسما در فرایند PACVD در سامانه جریان مستقیم پالسی، آگاهی از ویژگی‌ها و متغیرهای پلاسمایی ضروری می‌باشد.

لذا هدف از این مقاله بررسی اثرات درصد چرخه کار بر خواص مکانیکی پوشش نانوساختار TiAlN اعمال شده با روش PACVD در سامانه جریان مستقیم پالسی می‌باشد.

1- Duty Cycle.

## مواد و روش تحقیق

در این تحقیق از فولاد ابزار گرم کار AISI H13 (DIN 1.2344) به عنوان زیرلایه استفاده شد (فولاد حاوی ۴/۷ درصد کروم و یک درصد وانادیم است). نمونه‌ها به شکل استوانه‌ای به ارتفاع یک سانتی‌متر و در قطر دو و پنج سانتی‌متر تهیه شده و تحت عملیات حرارتی کوینچ و بازگشت قرار گرفتند. برای کوینچ کردن نمونه‌ها تا دمای ۱۰۵ درجه سانتی‌گراد و به مدت ۳۰ دقیقه و برای عملیات بازگشت، نمونه‌ها تا دمای ۵۵۰ درجه سانتی‌گراد و به مدت ۴۵ دقیقه گرم شده و سپس به ترتیب در روغن و هوا سرد شدند [۹].

قبل از فرایند لایه‌نشانی، ابتدا عملیات نیتروژن دهی پلاسمایی<sup>۱</sup> به مدت ۴ ساعت و در دمای ۴۸۵ درجه سانتی‌گراد اعمال شد. برای دستیابی به خواص مطلوب در فرایند PN، ترکیب گازی نیتروژن و هیدروژن نسبت به یکدیگر به ترتیب ۲۵ و ۷۵ درصد انتخاب شد تا با پرهیز از تشکیل لایه سفید ترکیبی به عملیات مطلوب نیتروژن دهی دست یافته [۱۰].

برای بهبود چسبندگی پوشش‌های TiAlN بر روی زیرلایه فولادی، در همه آزمایش‌ها پوشش میان‌لایه TiN به مدت ۶۰ دقیقه اعمال شد. شرایط لایه‌نشانی پوشش میان‌لایه در جدول ۱ آمده است. برای پیوستگی پوشش‌ها، هر دو لایه TiN و TiAlN به صورت پیوسته و در یک محفظه دستگاه DC-PACVD انجام شد. جدول ۱ جزئیات کامل فرایند لایه‌نشانی اعم از شرایط فشار محفظه، دمای لایه‌نشانی، بسامد، ولتاژ اعمالی، درصدهای چرخه کار و نسبت جریان گازهای مورد استفاده، آورده شده است.

پیش‌ماده‌های AlCl<sub>3</sub> و TiCl<sub>4</sub> در دمای محیط به ترتیب در حالت مایع و جامد هستند. برای انتقال پیش‌ماده به داخل محفظه، ابتدا آن‌ها به وسیله گرم کن‌های مخصوصی به ترتیب تا دمای ۴۰ و ۲۰۰ درجه سانتی‌گراد گرم شده و سپس با استفاده از جریان گاز H<sub>2</sub> (به عنوان گاز حامل)، به داخل محفظه واکنش هدایت می‌شوند. در شکل ۲ شماتی از دستگاه PACVD و متعلقات آن آورده شده است.

برای مطالعه ساختار بلوری پوشش‌ها از دستگاه پراش پرتو ایکس (XRD، N8 Bruker) و نرم‌افزار JADE6.5 برای بررسی ریزساختار و مورفولوژی پوشش و سطح مقطع آن از میکروسکوپ الکترونی رویشی گسیل میدان (FE-SEM، ZEISS-Sigma)، برای ارزیابی سختی از دستگاه نانوذندانه‌گذاری و برای اندازه‌گیری تنفس پسمند از دستگاه لیزری (Stress Tester, J&L technology) استفاده شدند.

## نتایج و بحث

**الف)** اثرات درصد چرخه کار بر ساختار بلوری و مورفولوژی پوشش

شکل ۳ نمودارهای پراش پرتو ایکس پوشش‌های نانوساختار TiAlN در درصدهای مختلف چرخه کار و نمودار مربوط به پوشش نانوساختار TiN را برای مقایسه نشان می‌دهد. همان‌طور که در نمودارها مشاهده می‌شود، ساختار بلوری TiAlN در هر سه نمونه تشکیل شده است. حضور مقدار مشخصی از آلومینیوم در ساختار بلوری

1- Plasma Nitride (PN).

TiN، تشکیل محلول جامد TiAlN را در پی خواهد داشت. دو دلیل برای حضور محلول جامد وجود دارد. اول اینکه، ساختارهای بلوری حاوی آلومینیوم دیگری از جمله Al<sub>2</sub>O<sub>3</sub> و AlN در نمودارهای پراش پرتوی ایکس مربوطه مشاهده نشد. دوم اینکه همه نمودارهای XRD مربوط به پوشش‌های TiAlN به مقدار جزئی به سمت ۲۰ بیشتر سوق پیدا کرده است. چون شعاع اتمی فلز آلومینیوم ( $R_{Al}=0.143\text{ nm}$ ) کوچک‌تر از اتم‌های فلز تیتانیوم ( $R_{Ti}=0.146\text{ nm}$ ) است، لذا با جانشینی اتم‌های آلومینیوم با اتم‌های تیتانیوم و کاهش پارامتر شبکه و فاصله صفحات بلوری، جابجایی نمودار به سمت راست دور از انتظار بوده است.

امکان اندازه‌گیری، اندازه دانه در پوشش‌های نانوساختار TiAlN با استفاده از نمودارهای XRD و جایگزاری آن در رابطه شرر وجود دارد. این میزان با اندازه‌گیری عرض پیک در نیمه ارتفاع بلندترین پیک<sup>۱</sup> بر حسب رادیان و جایگزاری آن در رابطه (۲) وجود دارد [۱۱].

$$D = \frac{K\lambda}{\beta \cos\theta} \quad (2)$$

که در این رابطه D اندازه دانه، K ثابت ماده،  $\lambda$  طول موج و  $\beta$  مقدار FWHM می‌باشد. با توجه به وجود میکروکرنش (ε) در ساختار بلوری، اندازه دانه بدست آمده از رابطه شرر چندان قابل اطمینان نیست. لذا با استفاده از نرم‌افزار JADE 6.5 امکان اندازه‌گیری میزان میکروکرنش وجود دارد. برای حذف اثر ناشی از آن بر اندازه واقعی دانه، می‌توان از رابطه ویلیامسون–هال استفاده نمود [۱۲]. همان‌طور که در رابطه (۳) ملاحظه می‌شود، اثر میکروکرنش در رابطه در نظر گرفته شده و تا حدودی مقدار واقعی اندازه دانه محاسبه می‌شود.

$$\beta \frac{\cos\theta}{\lambda} = \frac{1}{D} + \frac{4\epsilon}{\lambda} \sin\theta \quad (3)$$

با اندازه‌گیری اندازه دانه با استفاده از رابطه ویلیامسون–هال ملاحظه می‌شود که با افزایش درصد چرخه کار از ۳۰ تا ۵۰ درصد، اندازه دانه بلوری حدوداً ۲ برابر شده است (شکل ۴). یکی از پارامترهای مؤثر در اندازه دانه بلوری، زمان اختصاص یافته به فرایند جوانه‌زنی می‌باشد. از یک طرف در درصددهای چرخه کار کم، زمان روشناکی کم و زمان خاموشی زیاد می‌باشد. از طرف دیگر جوانه‌زنی در زمان‌های خاموشی اتفاق می‌افتد، لذا فرصت جوانه‌زنی افزایش یافته و بالطبع موجب افزایش محل جوانه‌زنی شده و اندازه دانه کاهش می‌باید.

شکل ۵، تصاویر میکروسکوب الکترونی از سطح پوشش‌های نانوساختار TiAlN اعمال شده در درصددهای مختلف چرخه کار را نشان می‌دهد. بر اساس شواهد موجود و محاسبات ترمودینامیکی که در مقاله دیگر بررسی شد، نوع مکانیسم جوانه‌زنی و رشد پوشش به صورت رشد لایه‌ای-جزیره‌ای تشخیص داده شد.

همچنین در درصددهای بالای چرخه کار، علاوه بر جوانه‌زنی غیرهمگن، یکسری جوانه‌زنی همگن هم اتفاق افتاد که با کاهش درصد چرخه کار، میزان جوانه‌های همگن کاهش یافت. بر اساس آزمون آنالیز عنصری EDS، ترکیب شیمیایی جوانه‌های همگن، مشابه پوشش اصلی بود (شکل ۵).

ب) اثر درصد چرخه کار بر خواص مکانیکی پوشش نمودارهای شکل ۶ خواص مکانیکی (از جمله سختی و مدول یانگ) پوشش‌های نانوساختار TiAlN اعمال شده در درصدهای مختلف چرخه کار را نشان می‌دهد. همان‌طور که مشاهده می‌شود با افزایش درصد چرخه کار، خواص مکانیکی پوشش، دچار کاهش محسوسی می‌شود. برای ارزیابی بهتر از خواص مکانیکی، شاخص تغییر شکل پلاستیکی<sup>۱</sup> تعریف شده است (رابطه ۴) که در آن هر دو عنصر مهم خواص مکانیکی تحت تأثیر آن خواهد بود.

$$(4) \quad H^3/E^2 = \text{شاخص تغییر شکل پلاستیکی}$$

محاسبات شاخص تغییر شکل پلاستیکی در نمودار شکل ۷ آورده شده است. همان‌طور که ملاحظه می‌شود، نتایج به دست آمده در نمودار شکل ۷ و شکل ۶ بر یکدیگر منطبق هستند. برای تحلیل و ارزیابی خواص مکانیکی به دست آمده از نمودار شکل ۷ از سه اثر مهم (۱) تنش پسماند فشاری، (۲) اثر ضربی بافت بلوری و (۳) اثر اندازه دانه می‌توان بهره جست.

تشن پسماند فشاری از عوامل مهم برای تحلیل سختی به وجود آمده در مواد می‌باشد. به نحوی که با افزایش تشن پسماند، سختی بالابی از پوشش انتظار می‌رود. هرچند به ظاهر موجب بهبود خواص مکانیکی پوشش می‌شود ولی بالا بودن بیش از حد تشن پسماند، امکان کاهش استحکام چسبندگی و در نتیجه پوسته پوسته شدن پوشش را در پی خواهد داشت.

شکل ۸ نمودار مربوط به میزان تشن پسماند به دست آمده برای پوشش‌های TiAlN در درصدهای مختلف چرخه کاری می‌باشد که حداکثر تشن پسماند در چرخه کار ۳۰ درصد گزارش شده است. همچنین ضربی بافت بلوری در جهت (۱۱۱) که از نسبت شدت پیک در جهت (۱۱۱) به مجموع شدت پیک‌ها بدست می‌آید، یکی از معیارهای مطلوب قابل اندازه‌گیری در تحلیل خواص مکانیکی می‌باشد. با کاهش درصد چرخه کار از ۵۰ به ۳۰ درصد، ضربی بافت بلوری از ۰/۷۵ به ۰/۴ کاهش یافته است. کاهش ضربی بافت بلوری تسانگر خروج از جهت لغزش (۱۱۱) به جهات دیگر است و بالطبع موجب دستیابی به سختی بالاتر می‌شود. (شکل ۴)

بر اساس رابطه هال-پچ، اندازه دانه اثر معکوسی بر خواص مکانیکی مواد دارد. بدین منظور که با کاهش اندازه دانه و افزایش مرزدانه‌ها، استحکام مکانیکی از جمله سختی پوشش افزایش می‌یابد. همان‌طور که قبلاً اشاره شد، شکل ۴، اندازه دانه پوشش نانوساختار TiAlN اعمال شده در درصدهای مختلف چرخه کار را نیز نشان می‌دهد. همان‌طور که ملاحظه می‌شود با افزایش چرخه کار، اندازه دانه بلوری افزایش می‌یابد. با افزایش درصد چرخه کار از ۳۰ به ۵۰ درصد، اندازه دانه دو برابر شده است. همان‌طور که قبلاً اشاره شد، در درصدهای بالای چرخه کار، انتظار یونیزاسیون بیشتر و تشکیل بیشتر الکترون میسر می‌باشد. به دلیل دمای سیار بالای الکترون، امکان افزایش موضعی دمای سطح وجود دارد که خود سبب درشت شدن اندازه دانه می‌شود.

۱- Plastic deformation index (PDI).

## نتیجه‌گیری

- ۱) درصد چرخه کار به عنوان یکی از پارامترهای اثرگذار بر ساختار بلوری، مکانیسم رشد و سرعت لایه‌نشانی پوشش می‌باشد.
- ۲) با افزایش درصد چرخه کار، به دلیل افزایش چگالی یونی در پلاسما، احتمال جوانه‌زنی هم‌زمان به صورت جوانه‌زنی و رشد همگن و غیرهمگن وجود دارد.
- ۳) با کاهش درصد چرخه کار، زمان خاموشی افزایش یافته و لذا فرصت بیشتری برای جوانه‌زنی و رشد پوشش خواهد داشت و موجب افزایش سرعت رشد خواهد شد. بنابراین با کاهش درصد چرخه کاری از ۵۰ تا ۳۰ درصد، به ترتیب سرعت لایه‌نشانی دو برابر و اندازه دانه نصف شد.

## مراجع

1. W. D. Münz, Titanium aluminum nitride films: A new alternative to TiN coatings, *Journal of Vacuum Science and Technology A* 4, 2717 (1986).
2. H.E. Rebenne, D.G. Bhat, Review of CVD TiN coatings for wear-resistant applications: deposition processes, properties and performance, *Surface and Coatings Technology* 63 (1994) 1-13.
3. S. PalDey, S.C. Deevi, Single layer and multilayer wear resistant coatings of (Ti,Al)N: a review, *Materials Science and Engineering A* 342 (2003) 58-79.
4. P.W. Shum, W.C. Tam, K.Y. Li, Z.F. Zhou, Y.G. Shen, Mechanical and tribological properties of titanium–aluminium–nitride films deposited by reactive close-field unbalanced magnetron sputtering, *Wear* 257 (2014) 1030–1040.
5. C. W. Kim, K. H. Kim, Anti-oxidation properties of TiAlN film prepared by plasma-assisted chemical vapor deposition and roles of Al, *Thin Solid Films* 307 (1997) 113-119.
6. D.Y. Wang, Y.W. Li, C.L. Chang, W.Y. Ho, Deposition of high quality (Ti,Al)N hard coatings by vacuum arc evaporation process, *Surface and Coatings Technology* 114 (1999) 109-113.
7. H. Randhawa, Review of plasma-assisted deposition processes, *Thin Solid Films* 196 (1991) 329.
8. M. Raoufi, Sh. Mirdamadi, F. Mahboubi, Sh. Ahangarani, M.S. Mahdipoor, H. Elmkhah, Correlation between the surface characteristics and the duty cycle for the PACVD-derived TiN nanostructured films, *Surface and Coatings Technology* 205 (2011) 4980–4984.
9. T. V. Rajan, C. P. Sharma, Ashok K. Sharma, *Heat Treatment: Principles and Techniques*, PHI Learning Pvt. Ltd., 2004.

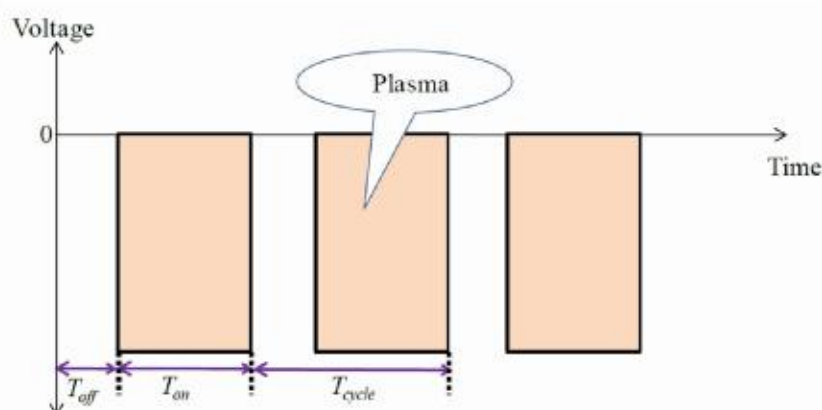
۱. ح. علم خواه، پایان‌نامه کارشناسی ارشد، دانشگاه تربیت مدرس، ۱۳۸۸

شانزدهمین سیمینار ملی مهندسی سطح

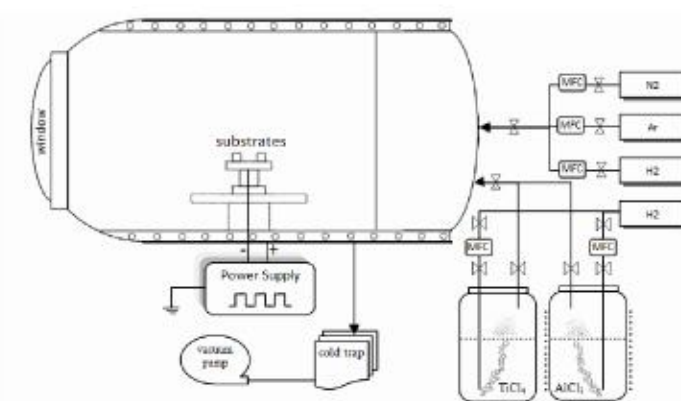
11. T. Zhou, P. Nie, X. Cai, P. K. Chu, Influence of N<sub>2</sub> partial pressure on mechanical properties of (Ti,Al)N films deposited by reactive magnetron sputtering, Vacuum 83 (2009) 1057-1059.
12. V.D. Mote, Y. Purushotham, B.N. Dole, Williamson-Hall analysis in estimation of lattice strain in nanometer-sized ZnO particles, Journal of Theoretical and Applied Physics, 6 (2012) 6-12.

جدول ۱: متغیرهای فرایند نیتروژن دهی پلاسمایی و جزئیات آن.

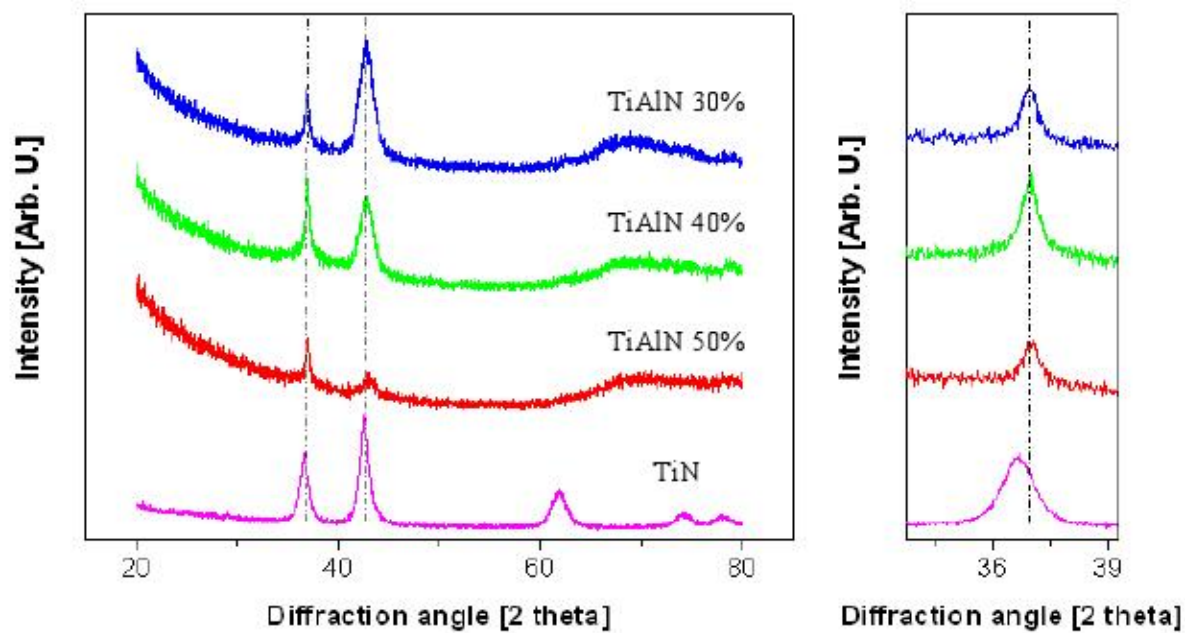
TiAlN پوشش (لابه اصلی)	TiN پوشش (میان لابه)	متغیر
۱۵۰	۶۰	زمان فرایند (دقیقه)
۴۷۰	۴۷۰	دماهی فرایند (سانتی گراد)
۵۰ ۴۰ ۳۰	۳۰	درصد چرخه کار $\frac{t_{on}}{t_{off} + t_{on}}$
۳	۳	فشار محفظه (میلی بار)
۱۰	۱۰	بسامد (کیلوهرتز)
۶۲۰	۵۹۰	ولتاژ اعمالی (ولت)
۴۰۰/۱۵۰/۵۰	۲۰۰/۱۵۰/۵۰	جریان گازها (sccm) H <sub>2</sub> /Ar/N <sub>2</sub>



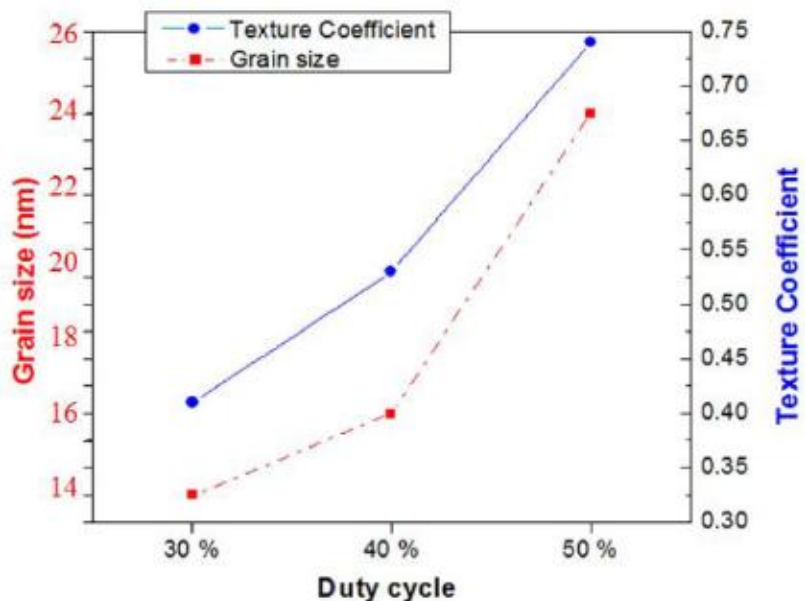
شکل ۱: شماتیکی از نمودار جریان مستقیم بالسی.



شکل ۲: شماتیکی از فرایند PACVD برای ایجاد پوشش نانوساختار TiAlN و متعلقات آن.

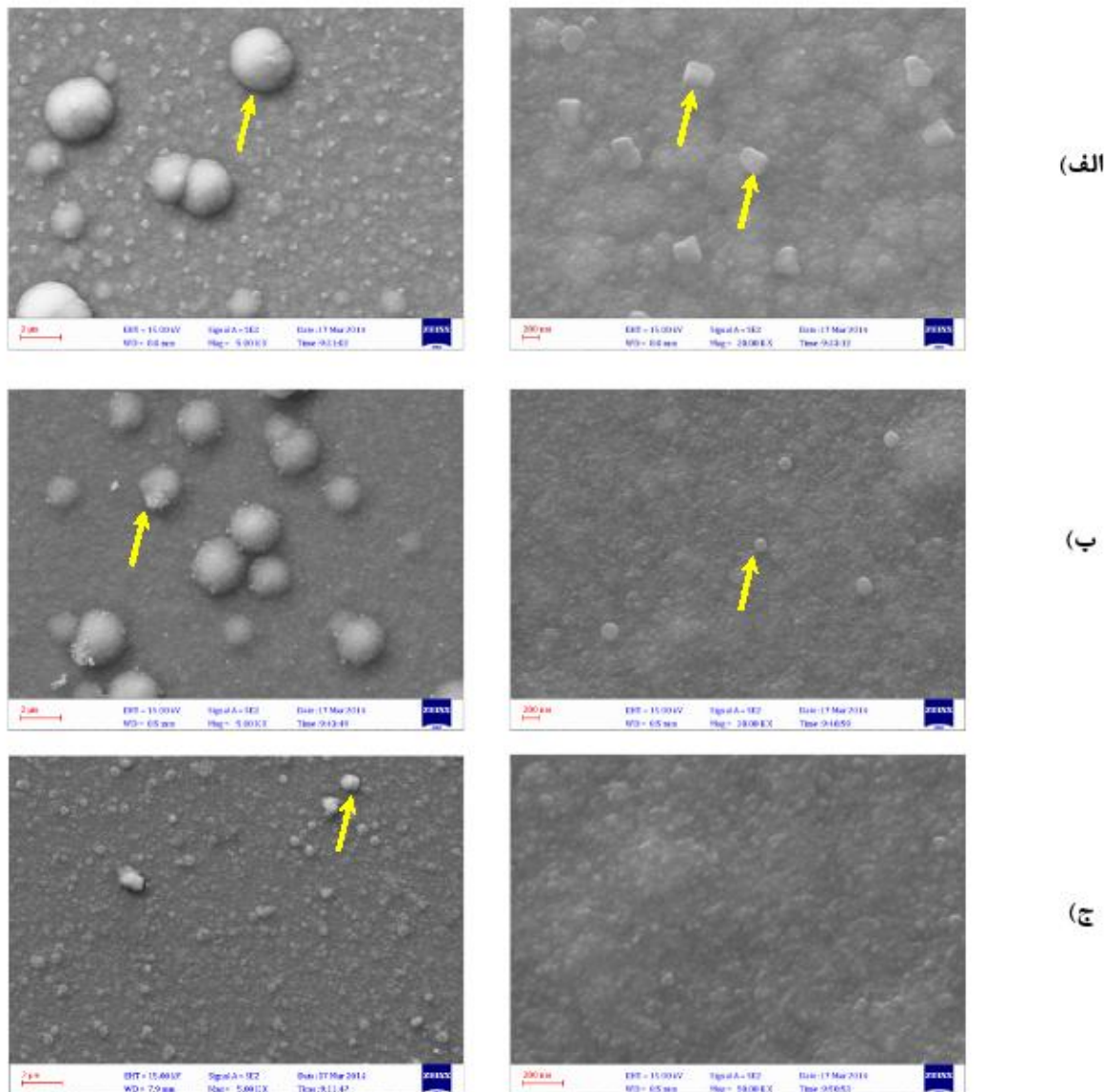


شکل ۳: نمودارهای الگوی پراش پوشش TiAlN و پوشش‌های TiN اعمال شده در درصدهای مختلف چرخه کار.

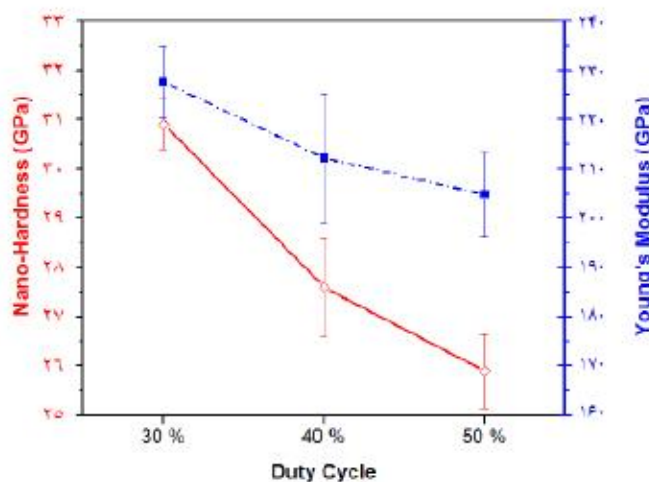


شکل ۴: اندازه دانه و ضریب بافت بلوری پوشش‌های TiAlN اعمال شده در درصدهای مختلف چرخه کار.

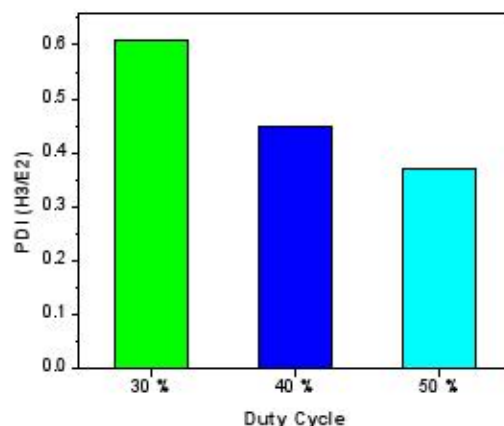
اثر درصد چرخه کار ....



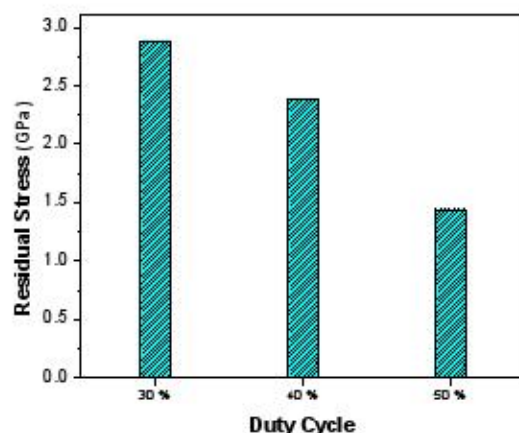
شکل ۵: تصاویر SEM از سطح پوشش‌های نانوساختار TiAlN اعمال شده در درصدهای مختلف چرخه کار (الف) (ب) و (ج) ۳۰ درصد.



شکل ۶: نمودار سختی و مدول یانگ پوشش‌های نانوساختار TiAlN اعمال شده در درصدهای مختلف چرخه کار.



شکل ۷: شاخص تغیر شکل پلاستیکی پوشش‌های نانوساختار TiAlN اعمال شده در درصدهای مختلف چرخه کار.



شکل ۸: مقایسه تنش پسماند پوشش‌های TiAlN اعمال شده در درصدهای مختلف چرخه کار.